

МЕТОДИЧЕСКИЕ АСПЕКТЫ ДЕНДРОКЛИМАТОХРОНОЛОГИЧЕСКОГО ПРОГНОЗИРОВАНИЯ

Битвинскас Теодорас, Институт Ботаники АН
Литовской ССР

Годичные кольца деревьев являются важным средством для изучения и прогнозирования изменчивости условий роста биогеоценозов по следующим причинам:

Леса, редколесья и отдельно стоящие деревья занимают крупные площади – регионы Северного и Южного полушарий Земли, имеют важнейшее значение для человечества как создатели и охранители почв, дают биомассу используемую человеком как источника тепла и энергии, стройматериала, химико – технического сырья.

Большинство древесных видов в крайних и относительно благоприятных условиях среды формируют четко выраженные годичные слои, ширина и структурные особенности которых дают нам возможность изучать условия роста деревьев за многие десятилетия и столетия жизни.

Дополнительную информацию о динамике условий среды получаем методом перекрестного датирования по древесине старинных зданий, археологических раскопок, законсервированных природой остатков деревьев.

Ряды годичных колец относительно хорошо во многих экологических ситуациях коррелируют с метеорологическими и климатическими элементами, являются хорошими индикаторами антропогенной деятельности.

Ширина годичных колец может служить и непосредственным индикатором продуктивности биогеоценозов, являясь, проходящих внутри растительных сообществ и даже индикатором продуктивности биогеоценозов без древесного полога, популяций животных.

Исследования последних лет показали, что кольца древесины несут обширную информацию как по структуре годичного кольца /ранняя, поздняя древесина/, элементам древесины /ширина, толщина клеток/, по изотопному составу химических элементов и другим количественным показателям рядов древесных колец.

В Советском Союзе с 50-ых годов началось довольно интенсивное изучение динамики прироста деревьев, главным образом в лесоводственных и археологических целях. В итоге проделанного можно было бы назвать до 50-десяти фамилий ученых, в той или иной степени применивших дендрохронологические и дендроклиматологические методы. Защищено много кандидатских и докторских диссертаций, неплохо изучены многие районы Советского Союза, территория которого составляет 1/6 – суши Земли. В целом получено несколько сотен дендрохронологических шкал, которые могут быть интерпретированы в целях и задачах различных наук и практики.

Следует отметить, что в последнее время относительно хорошо изучен регион Прибалтики, горная Украина, Карелия, некоторые области Среднего и Северного пояса Европейской и Азиатской части СССР, интенсивнее стал изучаться Кавказ, хорошо изучен Уральский Хребет, некоторые районы горных цепей Средней Азии. Но в многие районы, отдаленные от пунктов сообщений и по другим объективным и необъективным причинам, еще неизучены, неудовлетворяет иногда длина построенных шкал или достоверность результатов. В настоящее время изданы три тома Дендрошкала Советского Союза /1,2,3/ , подготовляется четвертый.

Одна из главнейших проблем современности, имеющее важное экономическое значение, является прогнозирование экологической изменчивости среды, которое несомненно годами и иногда десятилетиями тяжело отражается на жизнь сотен миллионов людей. Дендроклиматохронология, располагающая информацией о длинных рядах продуктивности органической массы на огромных территориях Земли, по мнению многих ученых достаточно весомо участвовать в решении данной проблемы вместе с астрофизикой, климатологией, географией, математикой, лесоведением и другими науками.

Моделированием климатических процессов усиленно занимаются многие коллективы ученых как в Советском Союзе, так и зарубежом. Дендроклиматохронология, расположает в настоящее время многими многолетними рядами изменчивости годичных слоев деревьев имеющих псевдоциклический характер, также хорошо поддающихся обработке различными математическими способами, ряды годичных слоев во многих случаях неплохо коррелируют со многими процессами природного и антропогенного происхождения.

Поэтому также важные показатели природной среды как осадки, уровень рек и озер, температура воздуха, ветры, засухи, переувлажнение, лесные пожары, распространение энтомо-фито вредителей, влияния рубок, удобрений, промышленных дымов и газов и многих других влияний и последствий отражаются в ширине и структуре годичных колец.

Методика математического моделирования и прогнозирования продуктивности лесов разработана в Институте экологии растений и животных УНЦ АН СССР и просверена Лит. ННИЛХ.

В Дендроклиматической лаборатории Института Ботаники АН Литовской ССР для прогнозирования условий среды лесных насаждений использовали определенные природные репера - вернее реперные годы, к которым может быть "привязан" радиальный прирост леса. Таким репером была солнечная активность, выраженная в числах Вольфа за гидрологические годы.

Было показано (4 , 5 , 6) что в определенных районах СССР, например в Литве, существует высокая связь между средними амплитудами солнечной активности (СА) в 22-летних циклах и изменчивости радиального прироста древостоев за те же периоды. В различных фазах солнечной активности (при максимумах, нами обозначаемых "а" и "б" а также минимумах, обозначаемых "с" и "д" а также на временных участках снижения и повышения СА ("ac" "cb" "bd" "da") радиальный прирост формируется далеко не одинаково. Сила и направление трендов прироста в различных регионах меняется также различно (6 , 7).

Наши исследования основанные на предложении, что в определенных фазах СА, в определенных регионах и условиях местопроизрастания с определенной вероятностью можем

ожидать на некоторых участках времени экстремальные приросты – оптимумы и пессуммы (минимумы) радиального прироста деревьев. Тем самым предугадываем и улучшение или ухудшение экологических условий того времени. Разработана ранее методика охватывала приростные явления в среднем, происходящие в отдельных фазах солнечной активности, но не показывала закономерностей изменчивости прироста из года в год. В последние годы, (1983–1984) мы к реперной системе солнечной активности "привязывали" погодичные данные ширин годичных колец насаждений и их индексы, тем самым по существу приближаясь к методу наложенных эпох.

Методика исследований. Реперами привязки дендроклиматохронологических данных являются гидрологические годы (IX–XII месяцы предыдущего года и I–VIII месяцы настоящего года) наивысшей и низшей солнечной активности (по данным Цюрикского ряда). Для определения максимума СА берется центральный год из трех лет с наивысшими индексами чисел Вольфа (ЧВ) и для минимума – год в центре из трех наименьших значений ЧВ. Достоверные данные по числам Вольфа имеются с 1749 года, что практически составляет к настоящему времени 21 одиннадцатилетних и 11-дцать 22-летних циклов. Также к реперной системе был приведен ряд СА по Шов'е. На таблице I показаны реперные годы солнечной активности по первому и второму максимумам солнечной активности (\bar{a} , \bar{b} , и минимумам – первому – \underline{c} и второму \underline{d}).

В данной методике основа экологических прогноз опирается на прогнозы одиннадцатилетних и двадцатилетних циклов активности Солнца. В частности, очень важное значение имеет определение времени максимумов и минимумов её активности. Известно, что прогнозы СА опираются на математическое моделирование закономерностей изменчивости во времени чисел Вольфа и один от другого прогнозы различных авторов отличаются учетом различных свойств ритмики СА. Обычно эти прогнозы охватывают только один – два одиннадцатилетних цикла.

Мы попытались метод наложенных эпох использовать также при построении обобщенных (средних) рядов СА за гидрологические годы (таблица I) для выявления отличительных свойств во времени не только в 22-летних, но также 44-летних и 88-летних циклах. Полученные таким образом средние данные СА теоретически и на деле позволяют сдатировать среднюю изменчивость как своеобразный эталон для методических работ (см. рис. I,2). Датировку эту можем проводить как вперед (прогноз) так и назад (ретроспектив). Ретроспективная датировка легко проверяется с действительными данными прогнозы – постоянным наследием за приростом – мониторингом. Составлены таблицы распределения дендроклиматохронологических данных по отношению реперов СА прошлом (таблица 2) и прогнозированию изменчивости прироста в будущем (таблица 3). При наличии достаточно длинных рядов других природных явлений – например температур воздуха, осадков, комплексных климатических показателей, землятресений и т.п. методика наложенных эпох применима и для обработки этой информации. Реперная система солнечной активности построенная для изучения особенностей изменчивости радиального прироста древостоя в вековом аспекте показана на таблице 4.

В результате обработки данных годичных слоев строились графики изменчивости рядов годичных слоев, реперами которых, как было показано выше, были максимумы и минимумы СА за гидрологические годы. Отдельно выделялись две группы /I,2/ 22- летних циклов,

в месте составляющих 44-летний цикл /период/ и третья группа представляющая средние величины прироста деревьев за все изученные 22-летние циклы. /Смотри приложения/.

Для дендроклиматохронологического исследования использовались следующие шкалы построенных с деревьев и древостоев со следующих районов Земли:

1. СОЮЗ СОВЕТСКИХ СОЦИАЛИСТИЧЕСКИХ РЕСПУБЛИК

Дендропрофиль Карпаты - Литовская ССР - Мурманская обл.

Литовская ССР $56^{\circ}27'$ - $53^{\circ}54'$ СШ- $20^{\circ}56'$ - $26^{\circ}51'$ ВД, альт. 5-150 м, сосняки, ельники, дубняки, черноольшаники (*Pinus sylvestris*, *Picea excelsa*, *Quercus robur*, *Alnus gl.*), исследования проведены в условиях различного почвенного богатства и разного почвенного увлажнения (в сухих, свежих, влажных и болотных), Литовского взморья, центра республики, севера, востока.

В других районах Прибалтики - Латвийская и Эстонская ССР - $56^{\circ}00'$ - $59^{\circ}40'$ СШ $21^{\circ}00'$ - $28^{\circ}00'$ ВД 10-150 м альтитуда - сосна обыкновенная.

Новгородская обл. - $58^{\circ}00'$ - $59^{\circ}00'$ СШ - $30^{\circ}00'$ - $34^{\circ}00'$ ВД альтитуды - 50-250 м; сосна обыкновенная.

Средняя и Северная Карелия - $62^{\circ}00'$ - $66^{\circ}30'$ СШ - $30^{\circ}00'$ - $34^{\circ}00'$ ВД, альтитуды - 30-250 м, сосна обыкновенная.

Мурманская обл. $66^{\circ}30'$ - $69^{\circ}00'$ СШ - $30^{\circ}00'$ - $34^{\circ}00'$ ВД, альтитуда 50-1000 м, сосна обыкновенная.

Западный Кавказ $43^{\circ}00'$ СШ - $42^{\circ}00'$ ВД, альтитуда 1550-2000 м, Ель восточная (*Picea orientalis*).

Средняя Азия - Заилийский Алатау $43^{\circ}30'$ СШ - $76^{\circ}00'$ - $77^{\circ}00'$ ВД альтитуды - 1400-2800 м. Ель Шренка (*Picea Sren.*).

Забайкалье 450-1200 м, альтитуда, $51^{\circ}00'$ - $56^{\circ}00'$ СШ - $104^{\circ}00'$ - $110^{\circ}00'$ ВД - лиственница даурская и кедр сибирский (*Larix dahurica*, *Pinus cembra*).

Камчатка $55^{\circ}00'$ - $56^{\circ}00'$ СШ - $160^{\circ}00'$ - $162^{\circ}00'$ ВД, альтитуда 500-1200 м лиственница Каяндеря и кедровский стланик (*Larix Kajanderi*, *Pinus pumila*).

Башкирия $54^{\circ}00'$ СШ - $58^{\circ}00'$ ВД - 1000-1500 м.

Коми АССР $67^{\circ}00'$ СШ - $68^{\circ}00'$ СШ - $52^{\circ}00'$ - $54^{\circ}00'$ ВД, 50-200 м. Сибирская лиственница (*Larix sibirica*), ель сибирская (*Picea sibirica*).

2. МОНГОЛЬСКАЯ НР $48^{\circ}00'$ - $50^{\circ}00'$ СШ - $100^{\circ}00'$ - $112^{\circ}00'$ ВД, 500-1500 м, сосна обыкновенная, сибирская лиственница.

3. СЕВЕРНАЯ АМЕРИКА

США, Канада /западная часть континента/ Желтая сосна. $50^{\circ}45'$ - $30^{\circ}10'$ СШ - $120^{\circ}33'$, $103^{\circ}54'$ ЗД на высотах 610-2135 м, кроме того, в вековом аспекте изучались следующие древесные породы: *Pinus flexilis*, *Pseudotsuga menziesii*, *Pinus edulis*, *Pinus longaeva* /*Pinus aristata*/, *Pinus Jeffrey*.

На площади $50^{\circ}45'$ СШ - $34^{\circ}03'$ СШ до $120^{\circ}33'$ - $106^{\circ}43'$ ЗД на высотах от 613 до 3111 м. (Восточная часть континента США): *Picea rubens* $44^{\circ}19'$ - $35^{\circ}36'$ СШ - $83^{\circ}26'$ - $71^{\circ}23'$ ЗД 427-1584 м. *Pinus echinata* $41^{\circ}44'$ - $34^{\circ}37'$ СШ - $93^{\circ}45'$ - $74^{\circ}15'$ ЗД 150-503 м.

Quercus alba $42^{\circ}00'$ - $34^{\circ}34'СШ$ - ($94^{\circ}15'$ - $83^{\circ}50'ЗД$) 83 - 458 м.).

3. ЮЖНОЕ ПОЛУШАРИЕ

Аргентина *Australocedrus Chilensis* $42^{\circ}57'$ - $71^{\circ}26'ЗД$ alt. 820 м

Чили *Australocedrus Chilensis* $37^{\circ}21'ДК$ - $131^{\circ}30'ЗД$ alt. 850-100 м.

Южная Африка - Капская провинция *Widdringtonia cedarbergensis* $34^{\circ}24'ДК$ - $19^{\circ}13'ЗД$ 1330 м.

Австралия, Тасмания $42^{\circ}12'ДК$ - $145^{\circ}59'ЗД$ альт. 360 м.

Phylocladus alternifolius $43^{\circ}22'ДК$ - $143^{\circ}16'ЗД$ альт. 450 м.

Таблица I

Реперные годы солнечной активности

циклов	a	фазы солнечной активности	b	c	d
0			I75I		I755
I	I76I	I765			
2			I770		I775
3	I779	I784			
4			I788		I798
5	I804	I8II			
6			I8I7		I823
7	I829	I834			
8			I837		I843
9	I849	I856			
10			I860		I867
II	I87I	I878			I889
12			I884		
13	I894	I900			I9I3
14			I907		
15	I9I8	I923			
16			I928		I933
17	I937	I944			
18			I948		I954
19	I958	I964			
20			I969		I976
21	I980	(I987)			
22			(I99I)		(I997)

Замечание: в скобках, прогнозируемые фазы.

Таблица 2

Таблица 2

группа циклов	цикла	распределение календарных годов по отношению первого максимума солнечной активности /фазы а/													
1	1	1755	56	57	58	59	60	1761	62	63	64	65	66	67	68
2	3	1773	74	75	76	77	78	1779	80	81	82	83	84	85	86
1a	5	1798	99	00	01	02	03	1804	05	06	07	08	09	10	11
2a	7	1823	24	25	26	27	28	1829	30	31	32	33	34	35	36
1	9	1843	44	45	46	47	48	1849	50	51	52	53	54	55	56
2	11	1865	66	67	68	69	70	1871	72	73	74	75	76	77	78
1a	13	1888	89	90	91	92	93	1894	95	96	97	98	99	00	01
2a	15	1912	13	14	15	16	17	1918	19	20	21	22	23	24	25
1	17	1931	32	33	34	35	36	1937	38	39	40	41	42	43	44
2	19	1952	53	54	55	56	57	1958	59	60	61	62	63	64	65
1a	21	1974	75	76	77	78	79	1980	81	82	83	84	85	86	87

группа циклов	цикла	распределение календарных годов по отношению первого минимума солнечной активности /фазы с/													
1	1	1759	60	61	62	63	64	65	1766	67	68	69	70	71	1772
2	3	1777	78	79	80	81	82	83	1784	85	86	87	88	89	1790
1a	5	1804	05	06	07	08	09	10	1811	12	13	14	15	16	1817
2a	7	1827	28	29	30	31	32	33	1834	35	36	37	38	39	1840
1	9	1849	50	51	52	53	54	55	1856	57	58	59	60	61	1862
2	11	1871	72	73	74	75	76	77	1878	79	80	81	82	83	1884
1a	13	1894	95	96	97	98	99	00	1901	02	03	04	05	06	1907
2a	15	1916	17	18	19	20	21	22	1923	24	25	26	27	28	1929
1	17	1937	38	39	40	41	42	43	1944	45	46	47	48	49	1950
2	19	1957	58	59	60	61	62	63	1964	65	66	67	68	69	1970

распределение годов по отношению второго максимума солнечной активности /фазы б/

группа циклов	цикла	распределение годов по отношению второго максимума солнечной активности /фазы б/													
1	1	1745	46	47	48	49	50	1751	52	53	54	55	56	57	1758
2	3	1764	65	66	67	68	69	1770	71	72	73	74	75	76	1777
1a	5	1782	83	84	85	86	87	1788	89	90	91	92	93	94	1795
2a	7	1811	12	13	14	15	16	1817	18	19	20	21	22	23	1824
1	9	1831	32	33	34	35	36	1837	38	39	40	41	42	43	1844
2	11	1854	55	56	57	58	59	1860	61	62	63	64	65	66	1867
1a	13	1878	79	80	81	82	83	1884	85	86	87	88	89	90	1891
2a	15	1901	02	03	04	05	06	1907	08	09	10	11	12	13	1914
1	17	1922	23	24	25	26	27	1928	29	30	31	32	33	34	1935
2	19	1942	43	44	45	46	47	1948	49	50	51	52	53	54	1955
1a	21	1963	64	65	66	67	68	1969	70	71	72	73	74	75	1976

распределение календарных годов по отношению первого минимума солнечной активности /фазы с/

группа циклов	цикла	распределение календарных годов по отношению первого минимума солнечной активности /фазы с/													
1	1	1748	49	50	51	52	53	54	1755	56	57	58	59	60	1761
2	3	1768	69	70	71	72	73	74	1775	76	77	78	79	80	1781
1a	5	1791	92	93	94	95	96	97	1798	99	00	01	02	03	1804
2a	7	1816	17	18	19	20	21	22	1823	24	25	26	27	28	1829
1	9	1836	37	38	39	40	41	42	1843	44	45	46	47	48	1849
2	11	1860	61	62	63	64	65	66	1867	68	69	70	71	72	1873
1a	13	1882	83	84	85	86	87	88	1889	90	91	92	93	94	1895
2a	15	1906	07	08	09	10	11	12	1913	14	15	16	17	18	1919
1	17	1926	27	28	29	30	31	32	1933	34	35	36	37	38	1939
2	19	1947	48	49	50	51	52	53	1954	55	56	57	58	59	1960

распределение годов по отношению второго минимума солнечной активности /фазы д/

группа циклов	цикла	распределение годов по отношению второго минимума солнечной активности /фазы д/													
1	1	-7	-6	-5	-4	-3	-2	-1	0	+1	+2	+3	+4	+5	+6
2	3	6	5	4	3	2	1	0	-1	-2	-3	-4	-5	-6	
1a	5	4	3	2	1	0	-1	-2	-3	-4	-5	-6	-7	-8	
2a	7	3	2	1	0	-1	-2	-3	-4	-5	-6	-7	-8	-9	
1	9	2	1	0	-1	-2	-3	-4	-5	-6	-7	-8	-9	-10	
2	11	1	0	-1	-2	-3	-4	-5	-6	-7	-8	-9	-10	-11	
1a	13	0	-1	-2	-3	-4	-5	-6	-7	-8	-9	-10	-11	-12	
2a	15	-1	-2	-3	-4	-5	-6	-7	-8	-9	-10	-11	-12	-13	
1	17	-2	-3	-4	-5	-6	-7	-8	-9	-10	-11	-12	-13	-14	
2	19	-3	-4	-5	-6	-7	-8	-9	-10	-11	-12	-13	-14	-15	

Расстояние годов от репера СА (0)

расстояние годов от репера СА (0)

Таблица 3

Распределение годичных индексов сосны обыкновенной / *Pinus sylvestris* L. /
Бодикранте, г. Неринга, Западная Литва. Сосняк кислично-черничник, C_2 к реперным
годам первого максимума солнечной активности \bar{a} .

Группы циклов	цикли	величина годичных индексов													
		I	I	I08	I03	84	I28	I08	I27	I03	97	I24	I07	89	80
2	3	II8	98	I04	II7		I38	45	36	62	76	85	II6	II9	
I	5	88	III	I30	I41	34,5	29	49	67	90	70	67	77		
2	7	I27	90	76	I06	I20	85	71	II6	II3	89	90	77		
I	9	49	II6	II7	96	81	100	I10	64	37	62	I22	I60		
2	II	I55	I04	74	53	77	II2	I33	I08	90	II6	I28	II8		
I	I3	I02	III	98	88	I26	I8I	I02	85	II5	71	34	48		
2	I5	28	82	I2I	I60	I32	II4	I25	91	91	90	84	I09		
I	I7	97	83	78	93	I04	I37	I23	I32	64	I42	II7	94		
2	I9	I02	80	92	86	I07	94	I40	76	59	54	83	II4		
I гр.	Σ	444	524	507	546	453,5	574	487	446	430	452	429	459		
II гр.	Σ	530	454	467	522	574	450	505	453	429	434	50I	537		
M	Σ	974	978	974	I068	I027,5	I024	992	898	859	886	930	996		
I гр.	M	89	I05	I01	I09	91	II5	97	89	86	90	86	92		
II гр.	M	I06	91	93	I04	II5	90	I0I	91	86	87	I00	I07		
M	ср.	97	98	97	I07	I03	I02	99	90	86	89	93	I00		
Очередность годов		-5	-4	-3	-2	-I	0	+I	+2	+3	+4	+5	+6		

Таблица 3 а

Годичные индексы радиального прироста желтой сосны / *Pinus ponderosa* /
на западе территории Соединенных Штатов Америки. Сб. дендрошкал I, долгота $II2^{\circ}18'$,
широта $37^{\circ}32'$ в отношении /первого максимума солнечной активности \bar{a} /. Репера определены по данным Шоув'е (за годы I449-I749).

Группа циклов	цикли	\bar{a}													
		-6	-5	-4	-3	-2	-I	0	+I	+2	+3	+4	+5		
I	-3I	79	83	68	78	72	93	82	I04	I0I	II4	95	88		
2	-29	II3	80	I03	III	I02	I02	72	67	96	96	62	70		
I	-27	I0I	I0I	I39	I22	I09	82	72	99	6I	55	80	I22		
2	-25	I3I	69	65	79	85	7I	95	9I	I09	80	I04	95		
I	-23	II8	84	95	74	90	68	II2	I10	36	78	88	87		
2	-2I	II0	95	90	64	66	8I	93	I03	I00	85	7I	67		
I	-I9	I07	65	8I	I02	84	7I	92	52	75	99	I06	II5		
2	-I7	97	I2I	95	II2	II4	84	94	I07	I0I	I03	98	93		
I	-I5	84	95	70	52	38	87	I0I	82	I0I	69	78	68		

Продолжение таблицы 3 а

Группа циклов	циклы	-6	-5	-4	-3	-2	-I	0	+I	+2	+3	+4	+5	+6
2	- I3	I37	I34	I28	I45	I40	I85	I47	I48	99	I30	I53	I48	I63
I	- II	93	I01	I02	67	45	I00	87	I07	I09	75	81	I01	I29
2	- 9	I10	I02	I17	83	97	.51	82	97	I21	I20	I00	I22	I24
I	- 7	I06	I32	I08	81	I15	97	81	I03	I14	93	I06	71	66
2	- 5	I12	98	96	97	86	91	71	90	94	I16	I06	55	71
I	- 3	88	I07	I01	I31	I00	69	I08	III	I13	I23	III	II2	61
2	- I	90	92	88	79	I12	I16	I15	I34	I19	83	I20	II2	I05
I	I	I22	83	85	86	I09	I16	I39	I42	I38	I41	I26	I27	I09
I	Σ	898	851	849	793	762	783	874	902	848	847	871	891	850
II	Σ	900	791	782	770	802	781	769	837	839	813	814	762	831
III	Σ	I798	I642	I631	I563	I554	I643	I643	I739	I687	I660	I685	I653	I681
I	M	99	94	94	88	85	87	97	I00	94	94	97	99	94
II	M	I12	99	98	96	I00	98	96	I05	I05	I02	I02	95	I04
III	M	I06	96	96	92	92	92	97	I02	99	98	99	97	99

Таблица 4

Изменчивость СА по фазам в 88-летних циклах

группа циклов фазы	I				II				I a				II b			
	а	с	б	д	а	с	б	д	а	с	б	д	а	с	б	д
I449	I457	I461	I468	I472	I476	I480	I488	I492	I498	I505	I512	I519	I525	I528	I535	
I539	I543	I548	I553	I538	I567	I572	I578	I581	I587	I591	I599	I604	I611	I615	I619	
I626	I634	I639	I645	I649	I655	I660	I666	I675	I679	I683	I689	I693	I698	I705	I712	
I718	I723	I727	I734	I738	I745	I751	I755	I761	I766	I770	I775	I778	I784	I788	I798	
I804	I811	I817	I823	I829	I834	I837	I843	I849	I856	I860	I867	I871	I878	I884	I889	
I894	I901	I907	I913	I918	I923	I928	I933	I937	I944	I948	I954	I958	I964	I969	I976	
I980																

а - первый максимум солнечной активности

с - первый минимум " "

б - второй максимум " "

д - второй минимум " "

Научные итоги исследования

Показано, что реперная система солнечной активности является одним из немногих способов, применение которой при изучении прогностических закономерностей изменчивости радиального прироста насаждений в различных регионах земного шара является перспективным. Ширина годичных слоев, а также вычисленные годичные индексы радиального прироста древостоев легко "привязывается" к максимумам и минимумам 22-летних циклов активности Солнца в промежутке времени от 1745 года до наших дней. Этот способ позволяет выявить как численным, так и графическим способом проявления неодинаковой продуктивности деревьев в различных фазах солнечной активности.

Известно, что продуктивность деревьев зависит главным образом от почвенных условий местопроизрастания, гидротермического режима климата и экологических свойств деревьев в данном районе. Поэтому можем считать, что ряды годичных колец, при учете выше указанных зависимостей, обработанные методом наложенных эпох во многих случаях достаточно надежно показывают изменения продуктивности деревьев, а тем самым - определенные колебания в климатических изменениях.

Новым в нашей методике можем считать то, что нами наложенными эпохами учитывается не только 11-летние, но также 22-летние, 44-летние и 88-летние ритмы, и, таким способом, получаем сложную, но расшифруемую картину связи изменчивости состояния живой природы с относительно периодично повторяющимся закономерностями астрофизических явлений.

Методом наложенных эпох обработанные солнечные данные могут служить предварительным способом долголетнего прогнозирования самых величин солнечной активности в 22-летних, 44-летних, 88-летних циклах.

Независимым способом - по отдельным максимумам и минимумам солнечной активности расположенные приростные данные деревьев, как правило, перекрываются сходными по величине данными.

В исследованиях выше указанным способом себя хорошо показала сосна обыкновенная, ель обыкновенная, дуб черешчатый, ель в Коми АССР, деревья Забайкалья, Камчатки, сосна обыкновенная и лиственница сибирская в Северной Монголии, желтая сосна в Западной Канаде и США, белый дуб ряд сосен в восточной части США, чилийский аустрокедр в Чили и Аргентине, Пхилокладус в Австралийском регионе.

Менее пригодна оказалась ель восточная на Западном Кавказе и в Тяньшане, в Северной Карелии (сосна), некоторые древесные породы Южной Америки, Австралии. Пока складывается мнение, что хуже проявляется солнечная активность в крайних условиях среди например: в крупных горных ущельях, северных областях распространения леса, в некоторых оптимальных по условиям роста древостоях, в Литве - в кисличниках. Структура годичных колец не вносит в общую изменчивость радиального прироста значительной доли при его изучении в реперной системе солнечной активности.

Мы предполагаем, что стоит искать Солнцем обусловленных колебаний прироста по тем достоверно расчетанным дендрошкалам, в которых после наложения 5-ти эпох остаются средние колебания прироста не менее 25-30 -ти % и в которых можно выделить не менее

25-30 -ти % и в которых можно выделить не менее 2-3 участков времени, с тенденциями изменения приростов деревьев явно сходными на 50-80 - /100/ %.

Изучение реакции радиального прироста насаждений в определенных районах страны и зарубежом позволяет установить, что закономерности изменений прироста насаждений в некоторых участках времени, которые характеризуются определенными фазами активности Солнца явно отличаются экстремальными приростами /экстремальными гидротермическими условиями среды/. Эти участки отличаются также высокой повторяемостью самых экстремумов.

Например в Литовской ССР довольно глубоким минимумом отличается фазы \bar{a} , $\bar{a}\bar{c}$, \underline{c} ; крупным максимумом - фаза \bar{b} , $\bar{b}\bar{d}$. Относительно низкий прирост и в фазе \underline{c} . Низкие приrostы $\bar{b}\bar{d}$ фазе $\bar{a}\bar{c}$ и в нормально дренированных, свежих условиях местопроизрастаний. Минимум прироста проявляется не только в сосняках Литвы, но также в ельниках, черноольшниках, дубняках. Он проявляется и в сосняках Латвийской ССР, на Валдае, Белоруссии, в Татарии, в Карпатах. Низкие приросты находим также и в некоторых районах Запада Соединенных Штатов Америки. /сосна желтая, псевдотсуга/. Низкие приросты во фазе $\bar{a}\bar{c}$ также в Аргентине, в Чили. Таким образом можно утверждать, что в некоторых периодах времени, отрицательные экологические условия проявляются на обширных территориях. Трудности последнего времени с решением продовольственных программ во многих странах также усугубляются глобальными ухудшениями условий среды.

Резюмируя сказанное можно утверждать, что использование релерной системы солнечной активности является одним из конкретных способов, позволяющих по закономерностям прошлого предсказывать настоящее и будущее. В дальнейшем дендроклиматохронологическая лаборатория намерена изучать как глобальные проявления в изменчивости колышах деревьев, так и региональные особенности динамики прироста деревьев и его экогеографические закономерности.

Таблица 5

Условный прогноз активности Солнца по средним многолетним данным

с 1747 по 1984 гг.

по средней 22-летней /21-летней/

фаза	годы	фаза	годы	фаза	годы	фаза	годы
d	1975 76 77	$\bar{a}\bar{c}$	78	\bar{a}	79 80 81	$\bar{a}\bar{c}$	82 83 84 85
c	1986 87 88	$\underline{c}\bar{b}$	89	\bar{b}	90 91 92	$\bar{b}\bar{d}$	93 94 95
a	1996 97 98	$\bar{d}\bar{a}$	99	\bar{a}	00 01 02		

по средней 44-летней /40-летней/

фаза	годы	фаза	годы	фаза	годы	фаза	годы
d	1975 76 77	$\bar{a}\bar{c}$	78	\bar{a}	79 80 81	$\bar{a}\bar{c}$	82 83 84 85
c	1986 87 88	$\underline{c}\bar{b}$	89	\bar{b}	90 91 92	$\bar{b}\bar{d}$	93 94 95
a	1996 97 98	$\bar{d}\bar{a}$	99	\bar{a}	00 01 02	$\bar{a}\bar{c}$	03 04
c	2005 06 07	$\underline{c}\bar{b}$	08	\bar{b}	09 10 11	$\bar{b}\bar{d}$	12 13 14
d	2015 16 17	$\bar{d}\bar{a}$	18	\bar{a}	19 20 21	$\bar{a}\bar{c}$	

Продолжение табл. 5

по средней 88-летней /86-летней/

фаза	годы	фаза	годы	фаза	годы	фаза	годы	фаза	годы
d	1975 76 77	da	78	a	79 80 81	ac	82 83 84 85		
c	1986 87 88	cb	89 90 91	b	92 93 94	bd	95 96 97		
d	1996 99 00	da	01 02	a	03 04 05	ac	06 07		
c	2008 09 10	cb	II	b	12 13 14	bd	15 16 17		
d	2018 19 20	da	21 22	a	23 24 25	ac	26 27 28		
c	2029 30 31	cb	32	b	33 34 35	bd	36 37 38		
d	2039 40 41	da	42	a	43 44 45	ac	46 47 48		
c	2049 50 51	cb	52 53	b	54 55 56	bd	57 58 59	60	
d	2061 62 63	da	64	a	65 66 67	ac	68 69		

Таблица 6

Оптимумы и Пессумумы в фазах солнечной активности

Регион	Фазы																		
	d ₀	d ₀	a	a	ac	c	cb	b	bd	d	da	a	ac	c	cb	b	bd	d	da
Литовская ССР	-	-	-	-	-	0	+	+	-	-	-	0	+	++	++	++	+-	-	-
сосна свежие																			
усл. местпр.	-	+	+	-	-	+	+	0	0	+	0	-	0	+	+	-	0	0	-
Лат. ССР	-	0	+	-	-	+	+	+	0	-	-	0	0+	+	0-	-	-	-	+
св. Сльха черная Литва	-	+	-	-	-	-	-	-	-	-	-	-	0	-	-	-	-	-	-
УССР, Карпаты																			
Ель	0	-	-	+	+	0	--	0	0	+	++	+0	0	++	+0	-	-	-	-
Кедровая сосна	+	+	-0	++	0	+	+0	+	-	-	-	-	-	0	++	++	++		
Новгородская обл.																			
Валдай сосна	0+	++	-	0	++0	++	+	+	++	-	-	-	0	++0	+0	0-	+		
Зап.БССР сосна	-	-0	-	+	++	+	-	-	-	-	-	-	++00	0+	++-	-	0-	-	-
Архангельская обл. сосна	++	-	-	-	-	+	++	++	+	-	-	-	00	-	-	++	0-	-	-
Татарская АССР сосна	++	00	0-	0-	-0	-	+	+	++	0-	00	00	0-	0+	0+	++	++	00	
Арча Д.Тань-каль сосна обыкновенная	00	++	0-	0+	0+	0	0+	0+	0+	0+	0-	00	-	0+	00	00	00	00	
Башкирия	-	-0	0	+	+	00	+	00	+	+	+	+	+	+	-	0-	0-	0-	00
С.Урал дубравница	0+	++	++	++	++	-0	-	++	-	+	++	++	+	-	-	0-	0-	0+	++
Ижобский Урал	-	-	00	0	++	0-	---	-	+	+	++	-	0-	-	-	-	00	00	++
р.Соби	-	-	00	0+	++	-0	---	-	-	+	+	++	-	++	-	-	0-	+	++

Продолжение таблицы 6

Регион	фазы																	
	d ₀	d ₀ a	a	ac	c	cb	b	bd	d	da	a	ac	c	cb	b	bd	d	da
З.Кавказ	--	-0	00	0+	++	+-	-	--	0+	0	0-	0-	0+	00	00	00	--	-0
З.США №194	--	-+	00	0+	+0	0	-	-	+-	0	+	00	++	++	++	+	0-	
№ 33	0-	0-	-0	-+	-+	++	+	-0	-+	0-	-	-+	+	+	++	+	-	-0

Примечание: + - средне-положительные, ++ - сильные положительные,
- отрицательные, --- - сильно отрицательные экстремумы.

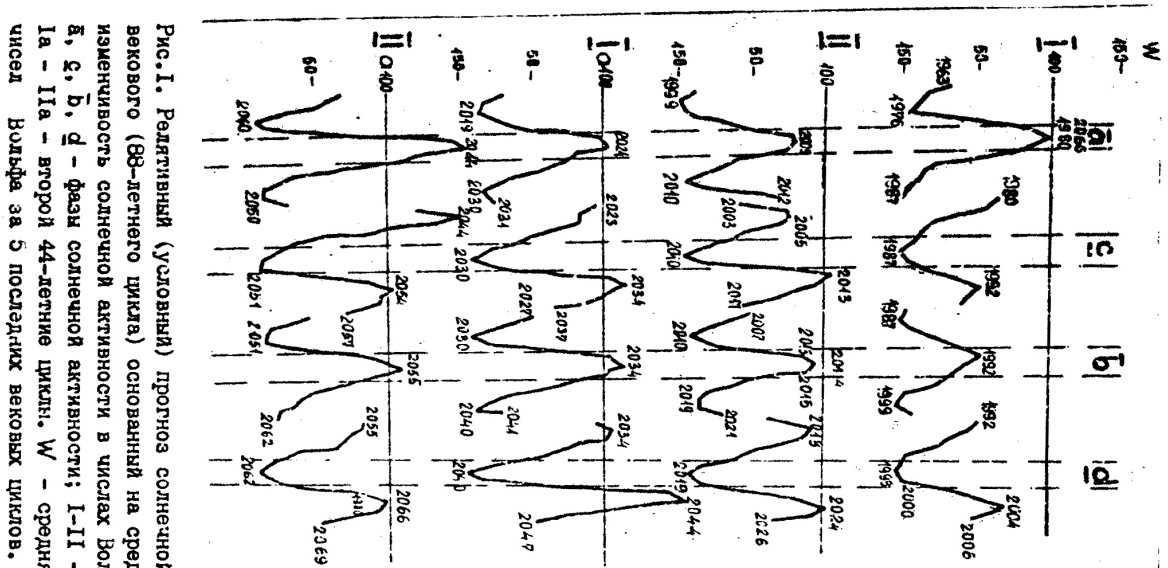


Рис.1. Релятивный (условный) прогноз солнечной активности векового (88-летнего цикла) основанный на среднем вековую изменчивость солнечной активности в числах Вольфа.

\bar{a} , \bar{c} , \bar{b} , \bar{d} – фазы солнечной активности; I-II – первый, Ia – IIa – второй 44-летние циклы. W – средняя величина чисел Вольфа за 5 последних вековых циклов.

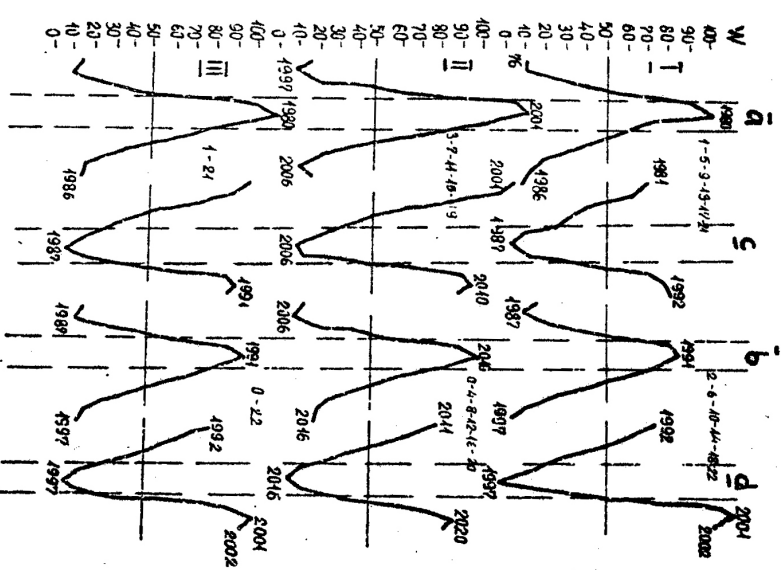


Рис.2. Релятивный (условный) прогноз 44-летнего и 22-летнего циклов солнечной активности (III). W – числа Вольфа за указанные 11-летние периоды (напр. I-5-9-13 + IV-21) \bar{a} , \bar{c} , \bar{b} , \bar{d} – фазы солнечной активности. Цифрами указаны также экстремальные по активности Солнца календарные годы.

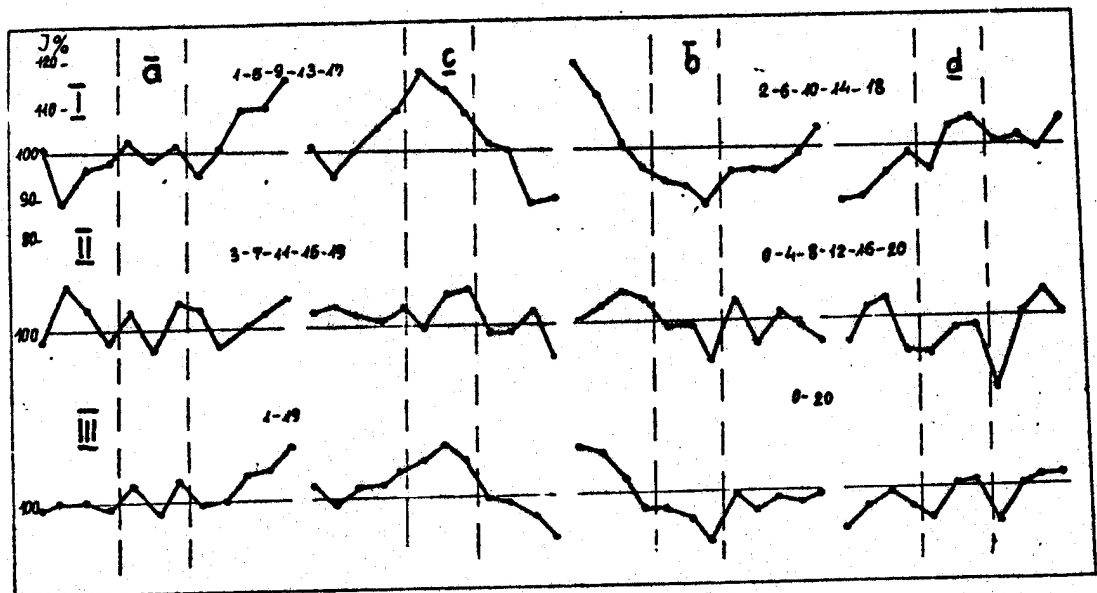


Рис.3. Релятивный (условный) прогноз радиального прироста в индексах (J) ели восточной, Западный Кавказ, Бескеский леспромхоз, лесничество Пхия, модель КК-З, высота над уровнем моря 1500 м, условия местопроизрастания С₂₋₃.

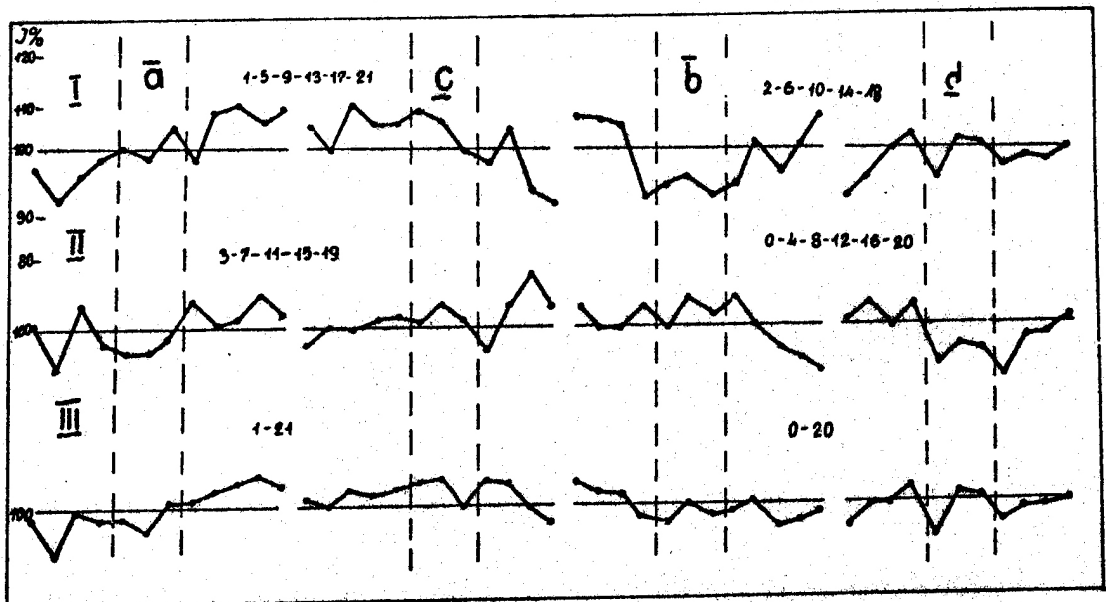


Рис.4. Релятивный (условный) прогноз РвJ , ели восточной, Западный Кавказ, Бескесский леспромхоз, модель КК-І, высота над уровнем моря 1500 м, условия местопроизрастания С₂₋₃.

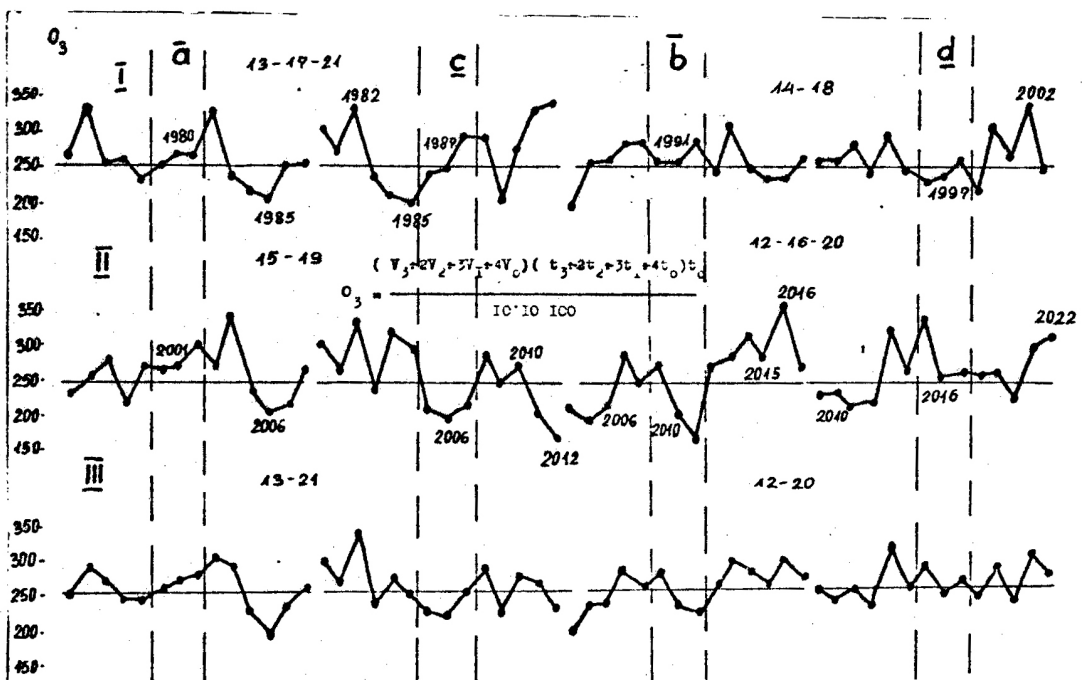


Рис.5. Условный прогноз комплексного гидротермического показателя O_3

$$O_3 = \frac{(V_3 + 2V_2 + 3V_1 + 4V_0)(t_3 + 2t_2 + 3t_1 + 4t_0)t_0}{10 \cdot 10 \cdot 100}$$

где - Vut - осадки и температура за гидрологический год. Каунасская МО.

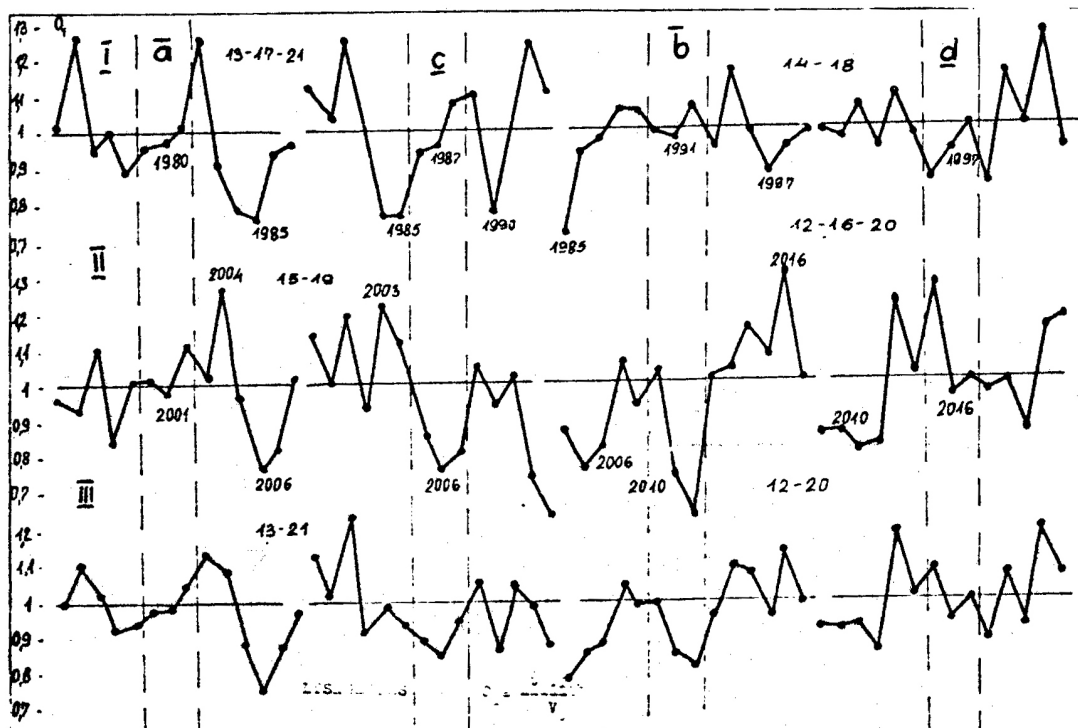


Рис. 6. Условный прогноз комплексного гидротермического показателя O_1

$O_1 = \frac{t_0 - 100}{V_0}$ где t_0 и V_0 средняя температура и сумма осадков в мм за гидрологический год. Индексы - 0 - год текущий, I - предыдущий и т.д. Каунасская МО.

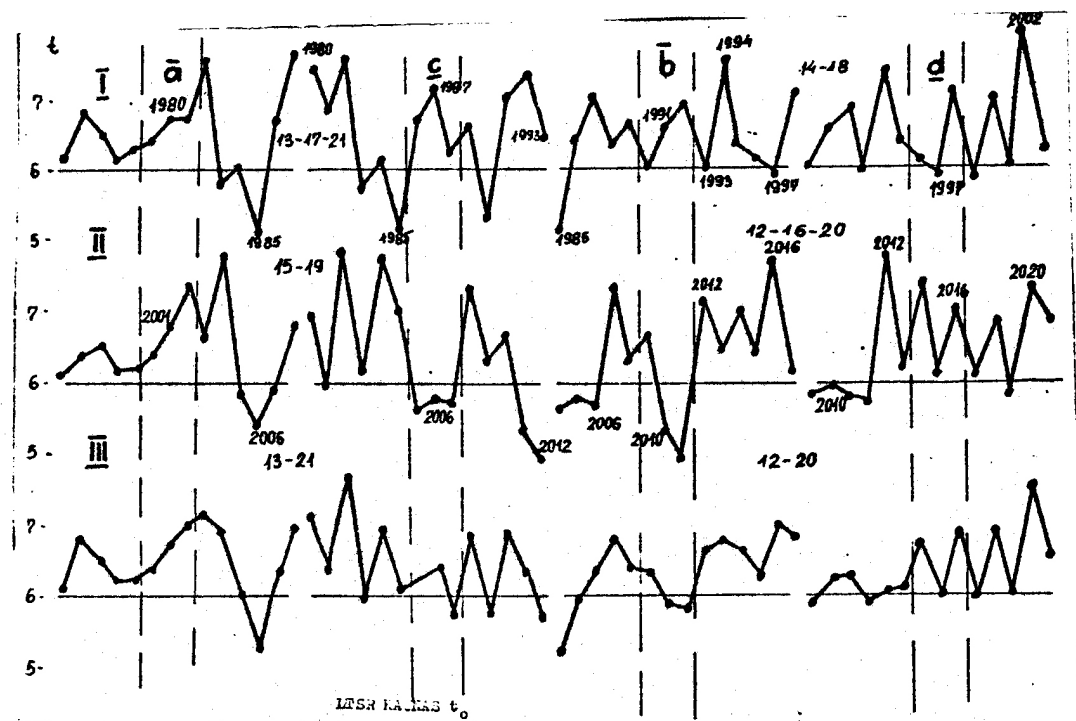


Рис.7. Условный прогноз климатического показателя t_0 (средняя температура за гидрологический год). Каунасская метеорологическая обсерватория.

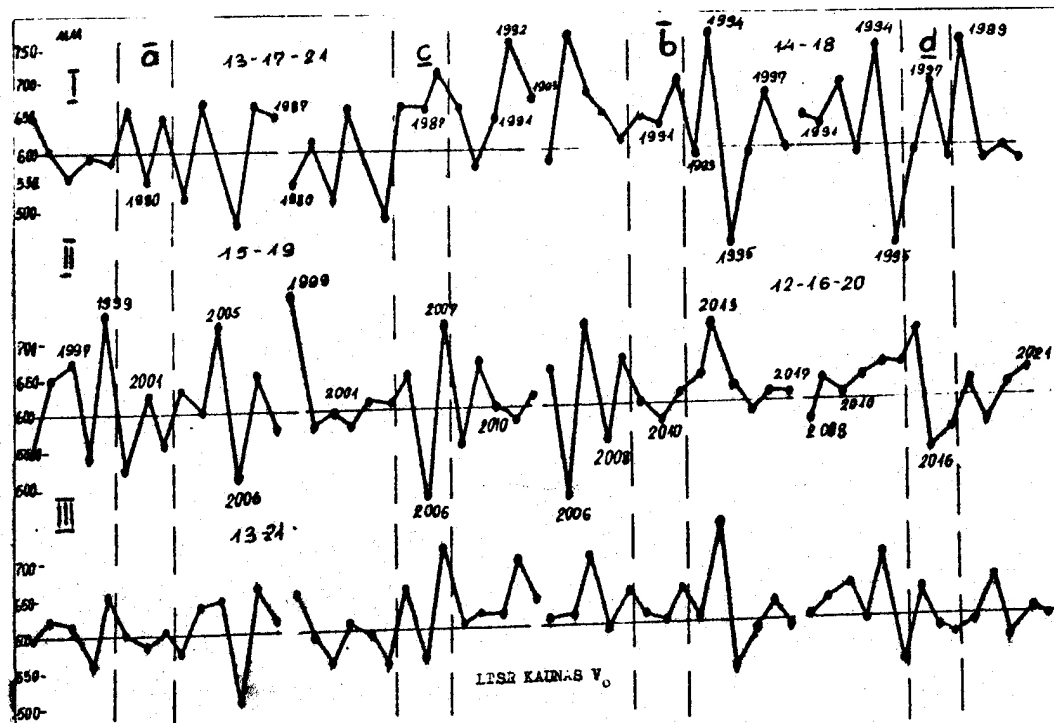


Рис.8. Условный прогноз климатического показателя V_0 (сумма осадков в мм за гидрологический год). Каунасская метеорологическая обсерватория.

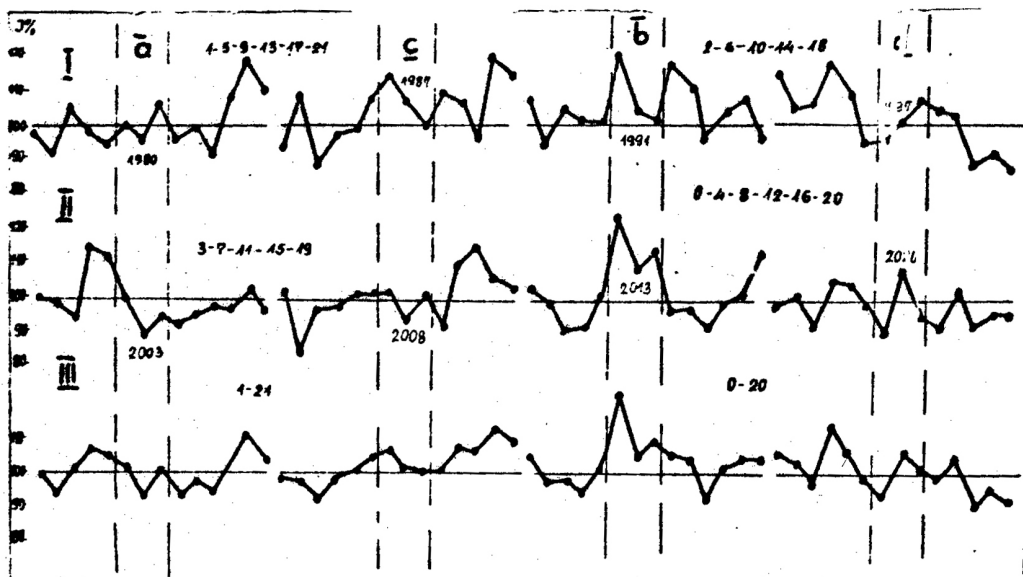


Рис. 9. Релятивный (относительный) прогноз радиального прироста Видрингтонии (*Widringtonia cedarbergensis*) Южная Африка, широта $32^{\circ}24'$, долгота $19^{\circ}13'E$, высота над уровнем моря 1330 м.

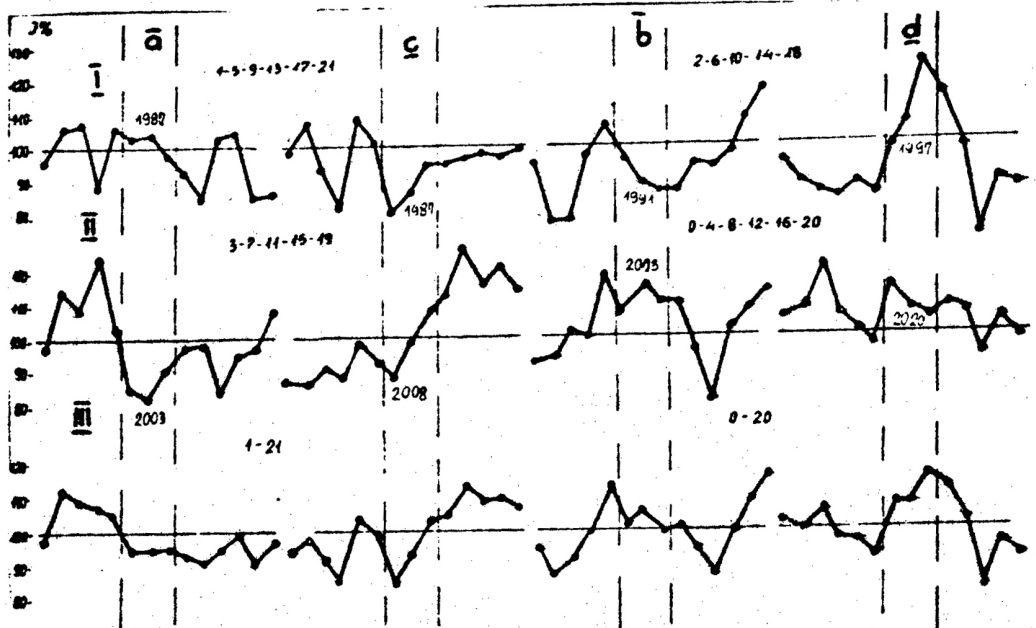


Рис. 10. Релятивный (относительный) прогноз радиального прироста Аустралио Кедрус (*Australocedrus Chilensis*), широта $42^{\circ}37'S$, долгота $71^{\circ}26'W$, высота 820 м. Аргентина.

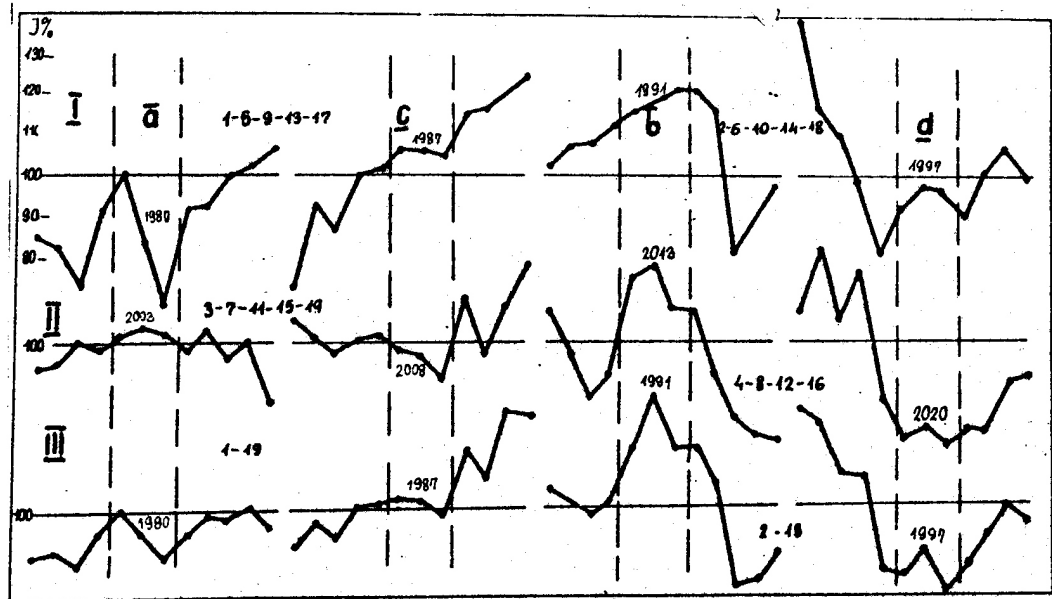


Рис. II. Релятивный (относительный) прогноз радиального прироста сосны обыкновенной в Литовской ССР, Шакийский лесхоз, торфяное месторождение "Аукштона иллия" условия местопроизрастания $A_5 - B_5$.

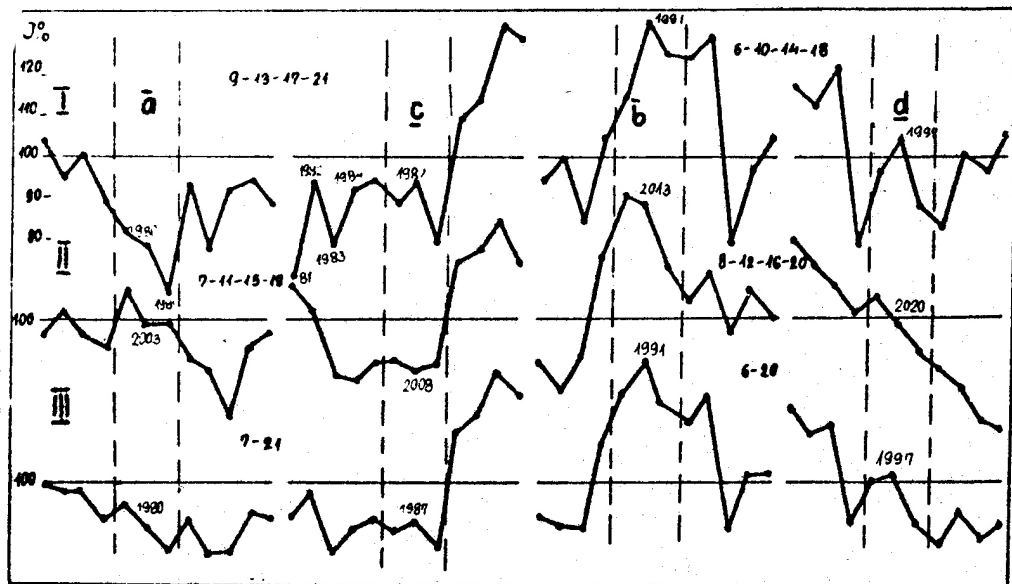


Рис.I2. Релятивный (относительный) прогноз радиального прироста сосны обыкновенной в Литовской ССР, болото в Каунасском леспромхозе, лесничество Курас, условия местопроизрастания A_5 .

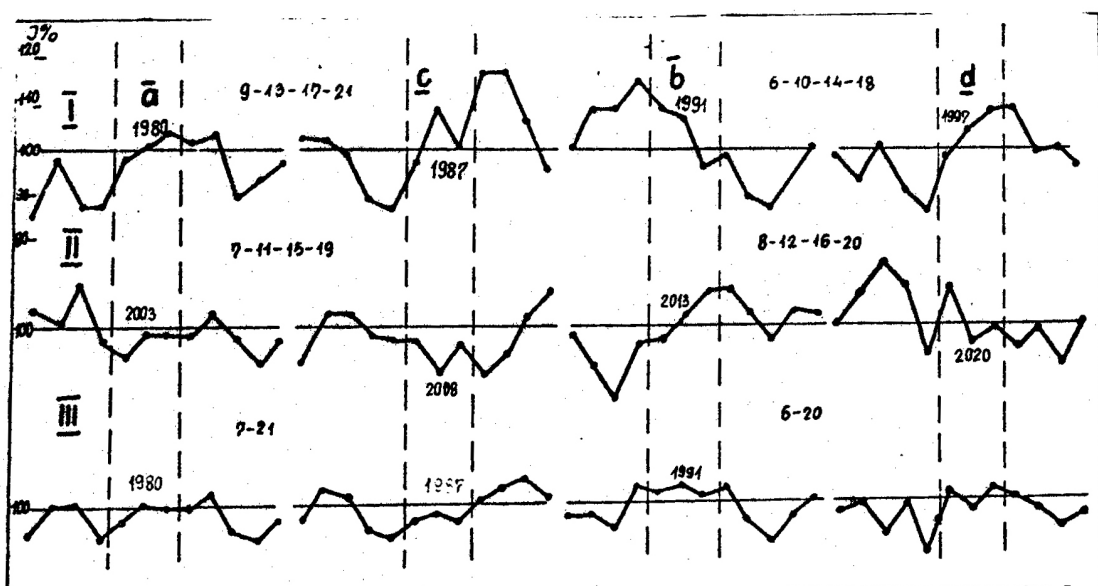


Рис.13. Релятивный (относительный) прогноз радиального прироста в индексах сосны обыкновенной в Литовской ССР, Дубравская ЛОС, условия местопроизрастания В₃, вывота над уровнем моря 10 м.

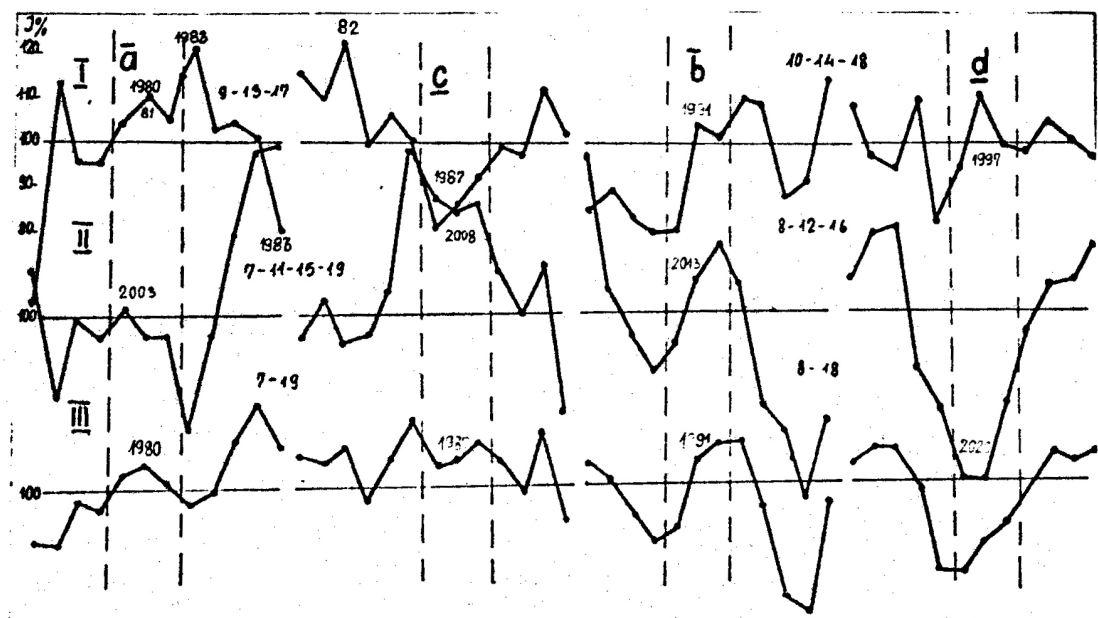


Рис.14. Релятивный (условный) прогноз радиального прироста сосны. Дубравская ЛОС, условия местопроизрастания В₅.

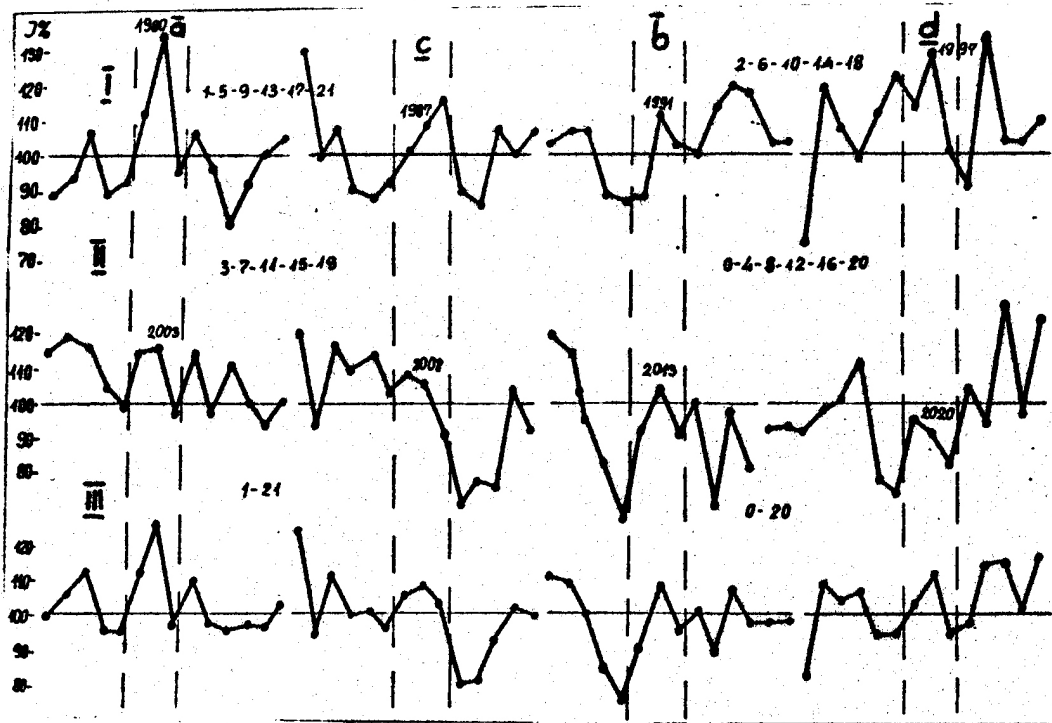


Рис. 15. Релятивный (условный) прогноз радиального прироста (*Phylochedus asplenifolius*) широта $43^{\circ}22'S$ – долгота $143^{\circ}16'E$, высота над уровнем моря 450 м. Австралия.

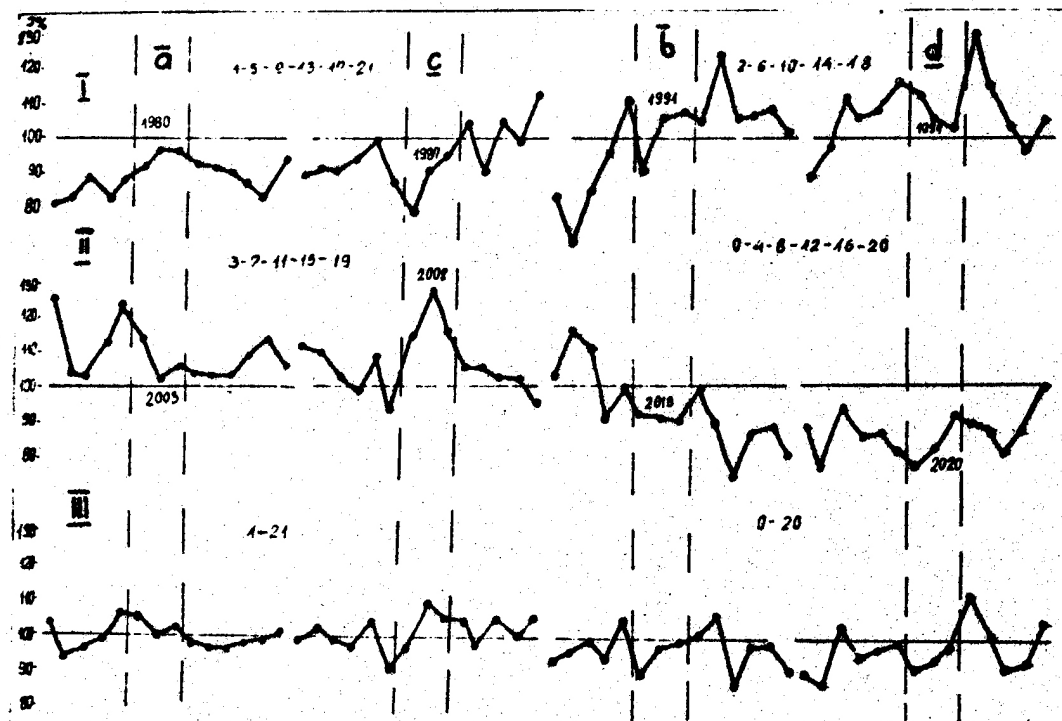


Рис. 16. Релятивный (относительный) прогноз радиального прироста Аустрокедрус (*Austrocedrus Chilensis*) El Chacay, Чили, широта $37^{\circ}21'S$ – долгота $71^{\circ}30'W$, высота над уровнем моря 850–1000 м.

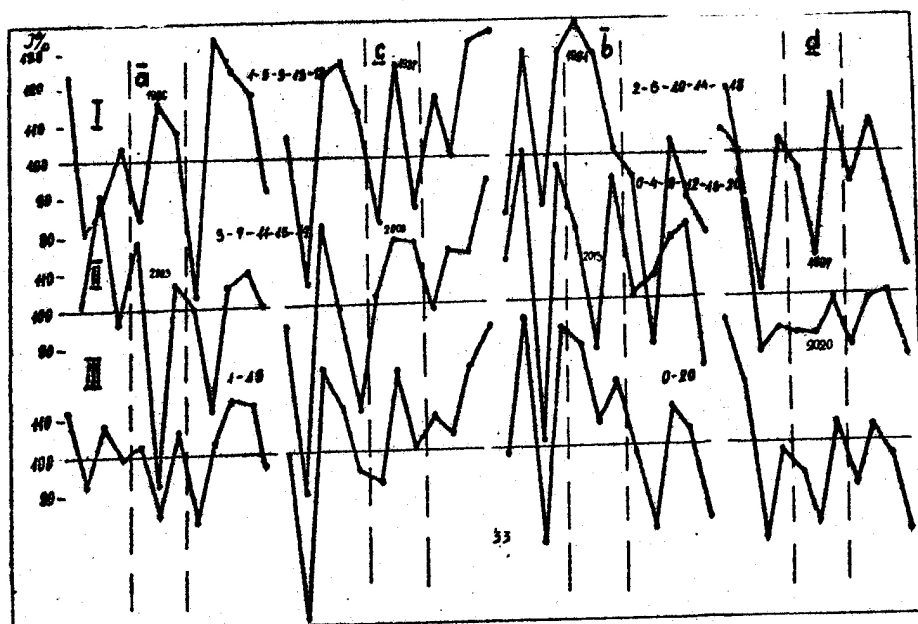


Рис. 17. Релятивный (относительный) прогноз радиального прироста сосны (*Pinus ponderosa*) на Западе Соединенных Штатов Америки. Широта $35^{\circ}50'N$, долгота $109^{\circ}07'W$, высота над уровнем моря 2300 м.

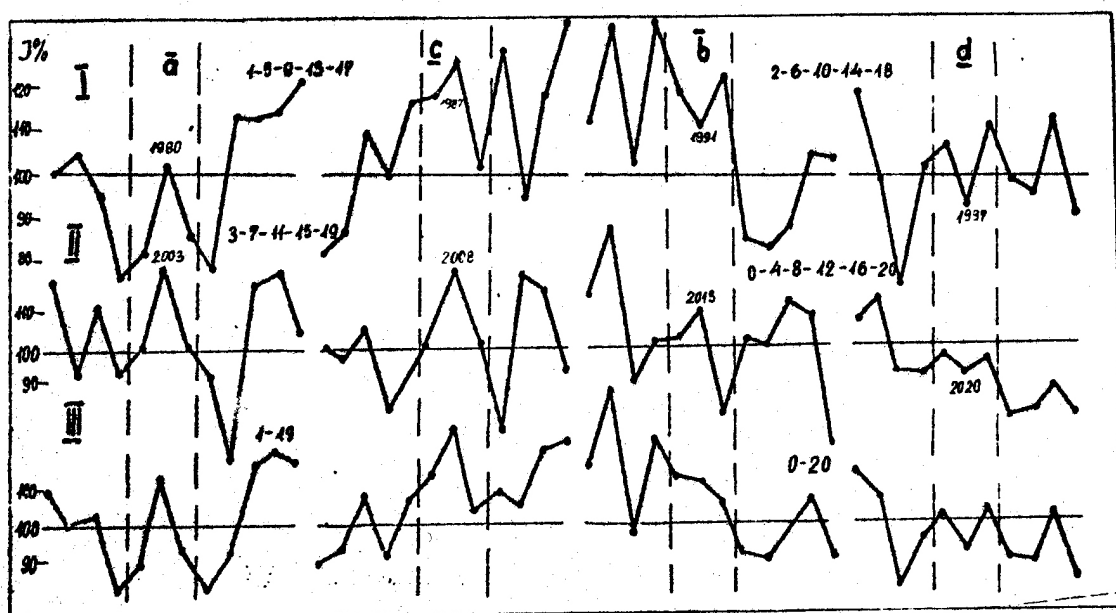


Рис. 18. Релятивный (относительный) прогноз радиального прироста желтой сосны (*Pinus ponderosa*) на Западе Соединенных Штатов Америки. Широта $30^{\circ}10'N$ - $108^{\circ}15'W$, высота над уровнем моря 2100 м.

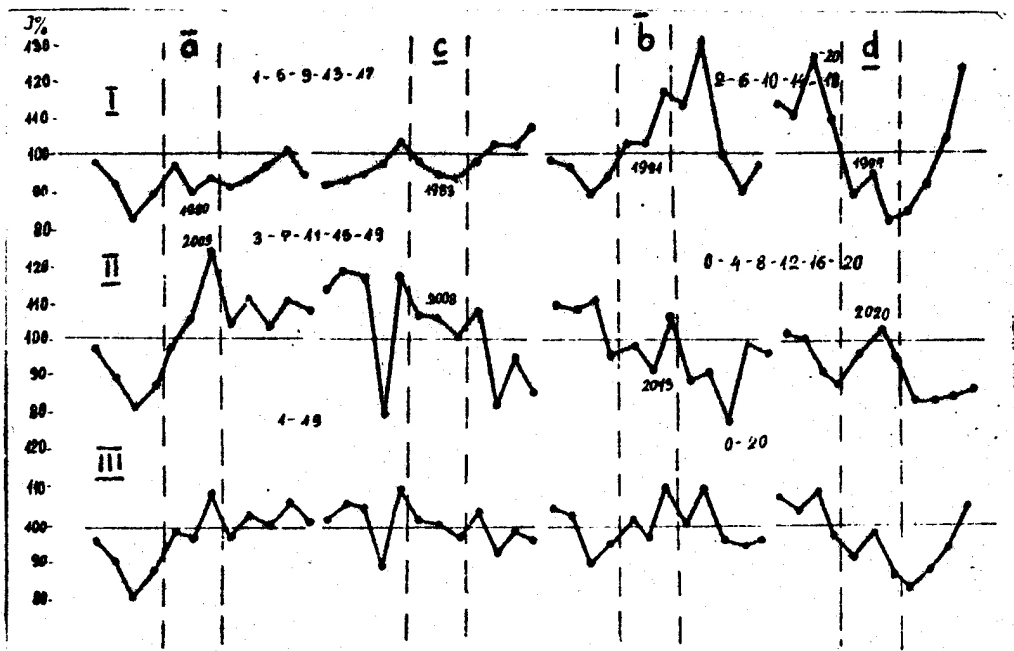


Рис. 19. Релятивный (относительный) прогноз радиального прироста ели красной (*Picea rubens*) на Востоке Соединенных Штатов Америки.

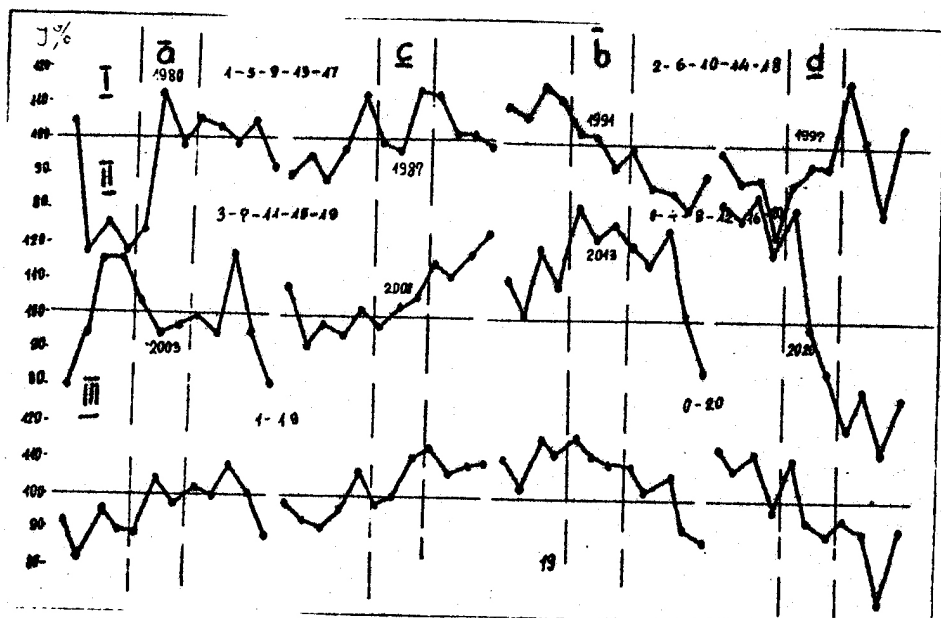


Рис. 20. Релятивный (относительный) прогноз радиального прироста желтой сосны (*Pinus ponderosa*) на Западе Соединенных Штатов Америки широта $30^{\circ}10'N$ - долгота $108^{\circ}15'W$, высота над уровнем моря 2100 м.

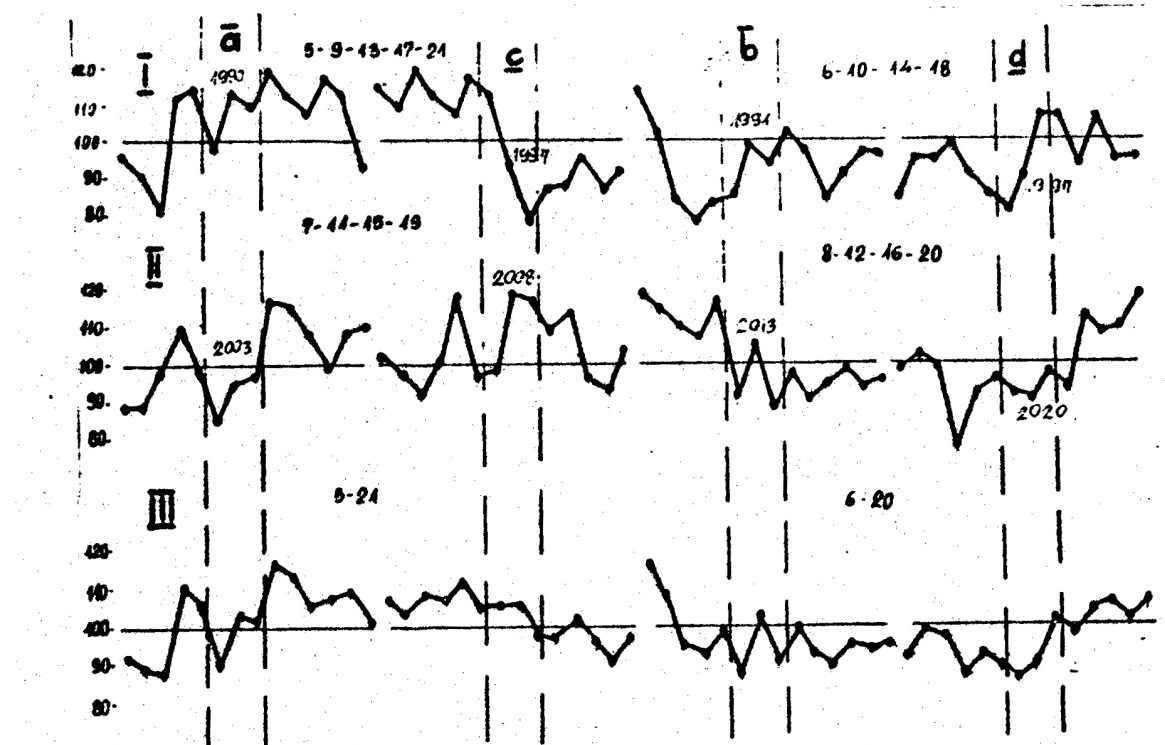


Рис. 21. Релятивный (относительный) прогноз радиального прироста лиственницы Каяндера на Камчатке (модель № 691).

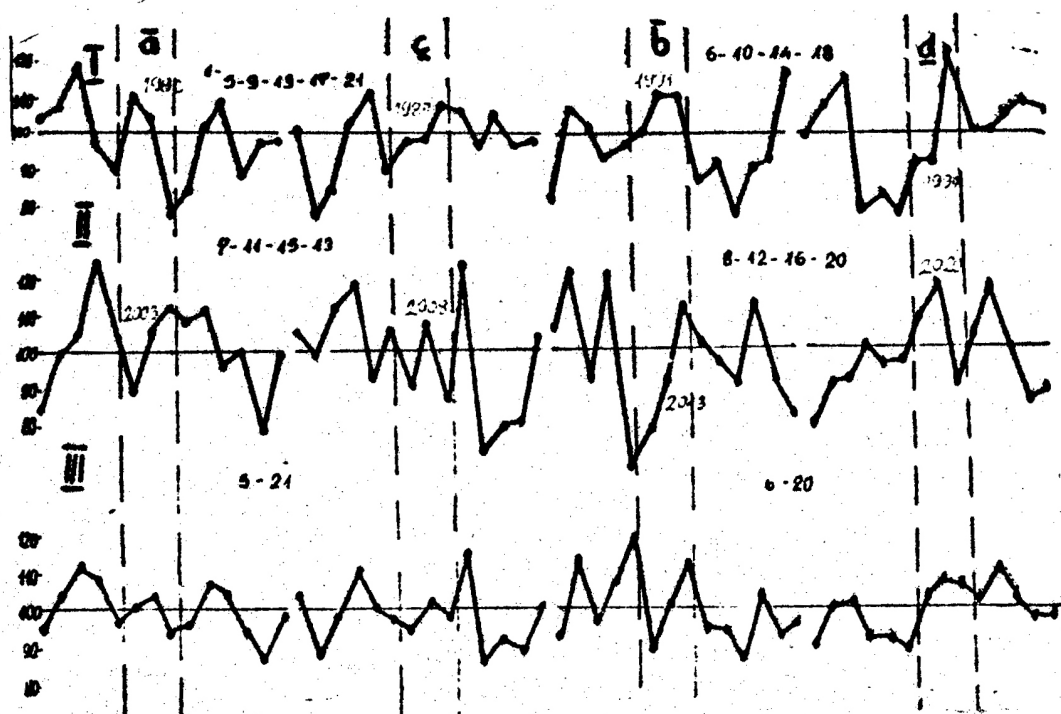


Рис. 22. Релятивный (относительный) прогноз радиального прироста лиственницы Каяндера на Камчатке (пр. пл. № 60).

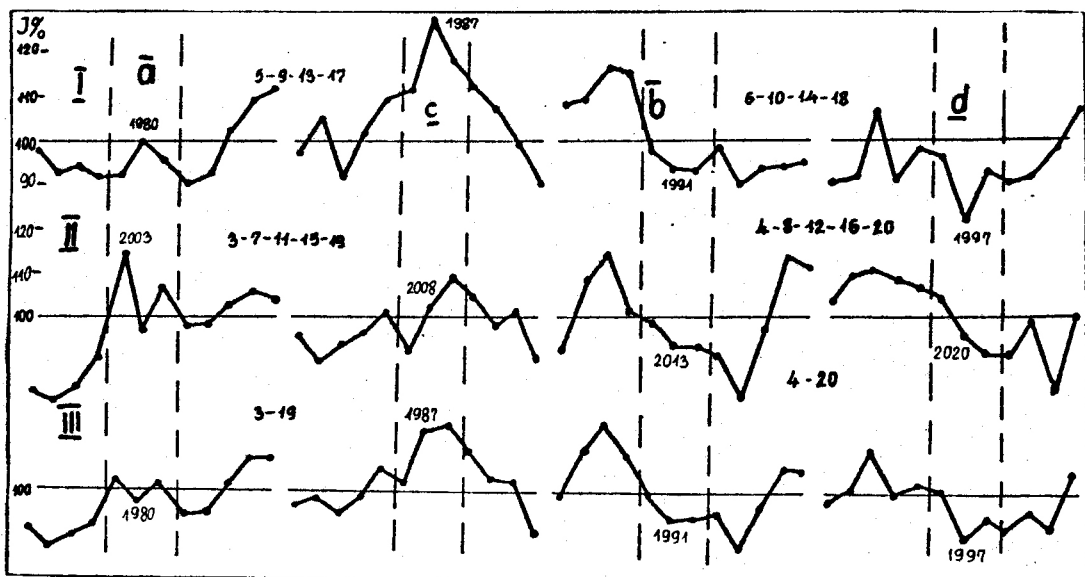


Рис. 23. Релятивный (относительный) прогноз радиального прироста в % сосны обыкновенной в Белорусской ССР, Пружанский лесхоз, Берёзовское лесничество, условия местопроизрастания A_2 .

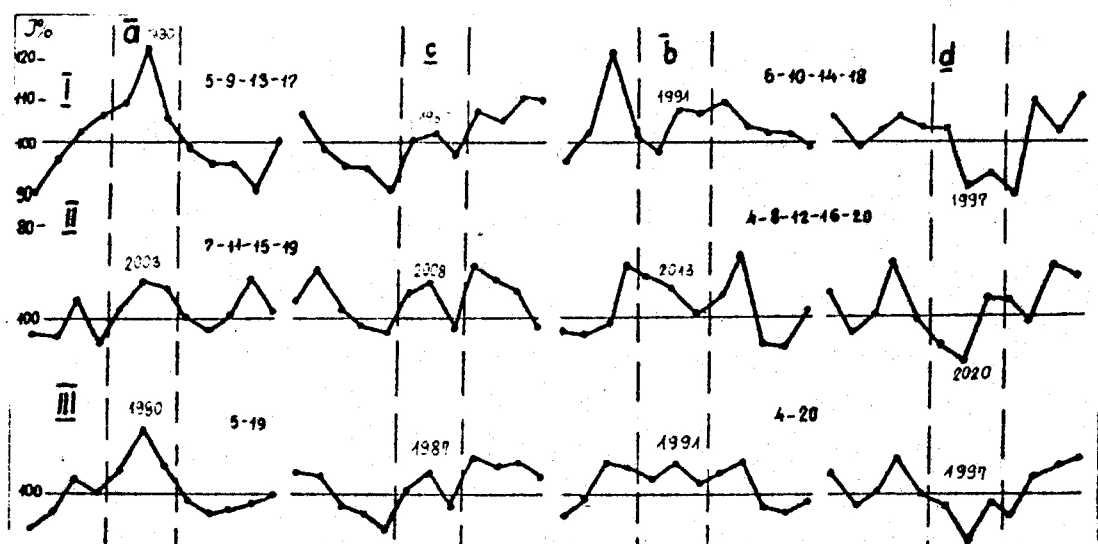


Рис. 24. Релятивный (относительный) прогноз радиального прироста сосны обыкновенной в индексах в Новгородской области, Валдайском лесхозе, Валдайском лесничестве, условия местопроизрастания C_3 .

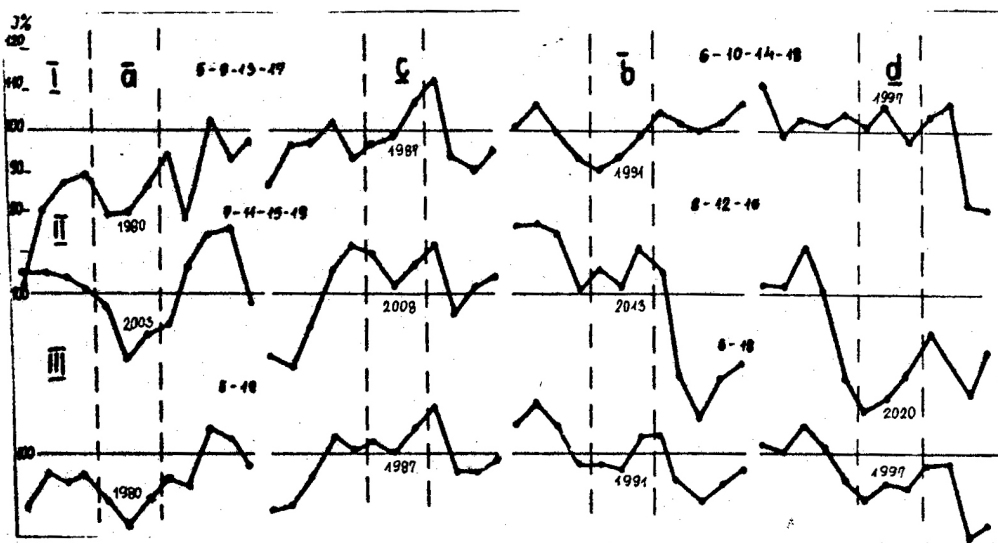


Рис. 25. Релятивный (относительный) прогноз радиального прироста в индексах (J) сосны обыкновенной в Литовской ССР, Рокишкском лесхозе, Бодупском лесничестве, условия местопроизрастания A_3 .

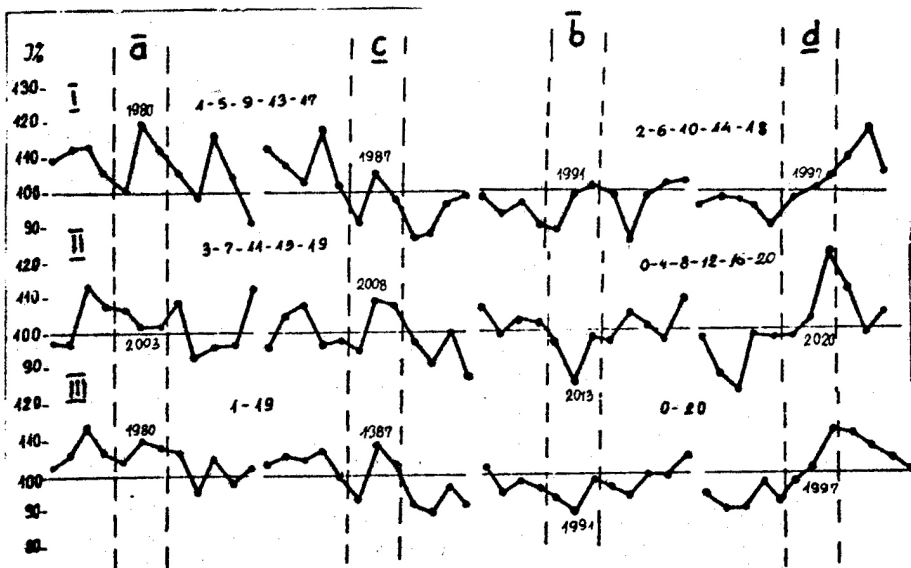


Рис. 26. Релятивный (относительный) прогноз радиального прироста сосны обыкновенной на Кольском п-ве, Кольский лесхоз, Мурманское л-во условия местопроизрастания $A_2 - A_3$.

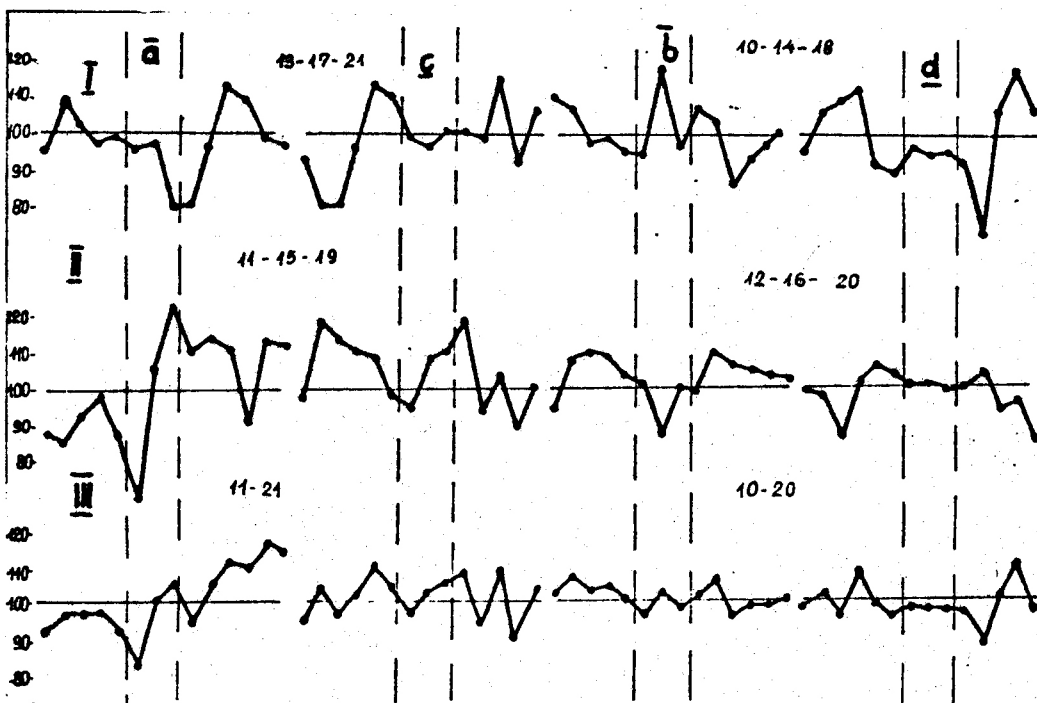


Рис. 27. Релятивный (относительный) прогноз радиального прироста ели аянской пр. пл. № 66, широта 56° Н , долгота 163° В .

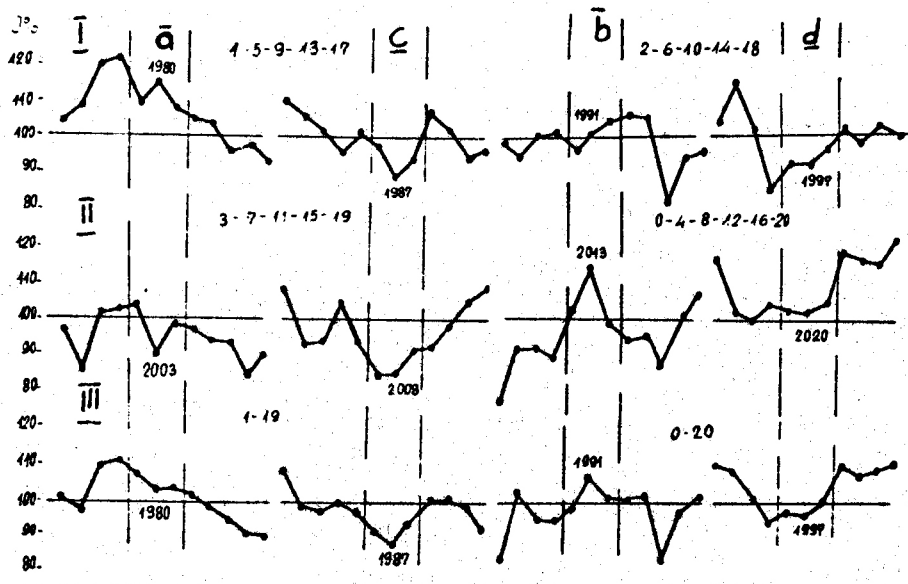


Рис. 28. Релятивный (относительный) прогноз Белого дуба (*Quercus alba*), Восток Соединенных Штатов Америки, широта 37° II'Н - долгота $86^{\circ}06'$ W , 213 м над уровнем моря.